

$\beta > 0$  (что характерно для большинства магнетиков) любое  $P \leq P_{kp}$  индуцирует М. ф. п. 1-го рода ФМ—ПМ, исчезающий выше критич. давления  $P_{kp}$ . При дальнейшем возрастании  $P$  (напр., в интерметаллич. соединении MnAs) возникает АФМ-фаза с М. ф. п. 2-го рода АФМ—ПМ; затем происходит структурный фазовый переход и возникает новая ФМ-фаза с соответствующим М. ф. п. 2-го рода ФМ—ПМ (рис. 4). Во всех случаях барич. производная критич. темп-ры  $dT_{C,N}/dP \sim -(-\beta)$ ; её знак может меняться в разл. областях изменения давления. При изоструктурном замещении

Рис. 4. МФД для двухподрешёточного магнетика, находящегося под действием одностороннего внешнего сжатия (на примере MnAs): 1 — ФМ1-фаза (высокоспиновая) низкого давления; 2 — ПМ-фаза; 3 — АФМ-фаза; 4 — ФМ2-фаза (низкоспиновая) высокого давления (фазы 1 и 4 отличаются типом кристаллической структуры);  $P_{kp}$  — критическое давление;  $T_C(N)$  — точка Кюри (Нееля). Заштрихованная область метастабильности между границами устойчивости фаз 1, 2 и 3 (A, B — соответственно нижняя и верхняя границы). Пунктиром обозначена граница структурного фазового перехода [6].

(напр., MnAs  $\rightarrow$  MnSb) постоянная решётки возрастает, т. е. имеет место эффект, эквивалентный наложению отрицат. давления (растяжению образца); при этом М. ф. п. ФМ—ПМ (напр., при  $P_{atm} < P_{kp}$  в MnSb) вновь становится переходом 2-го рода.

Существенно, что при значениях темп-ры  $T$  и давления  $P$  в метастабильной области МФД на рис. 4 для MnAs (где её границы от 2 до 6,5 кбар) или его сплавов с переходными 3d-металлами наложение внеш. магн. поля  $H \geq H_{kp}$  ( $T, P$ ) индуцирует необратимый М. ф. п. из ПМ- или АФМ-фазы в ФМ-фазу. Особенно велика роль внеш. магн. поля, когда  $P_{kp} < 0$  и ФМ-фаза при всех давлениях  $P \geq 0$  является «скрытой», т. е. спонтанно не реализуется, что наблюдается, напр., в сплавах MnFe<sub>x</sub> (или Co<sub>x</sub>)As при  $x \geq 0,01$ . В этом случае наложение  $H$  приводит к смешению всей МФД в область положит. давлений и делает ФМ-фазу доступной наблюдению.

Концентрационные М. ф. п. происходят при неизменных значениях темп-ры  $T$ , магн. поля  $H$  и давления  $P$  и характерны для сложных магн. соединений переменного состава и, как правило, неупорядоченной

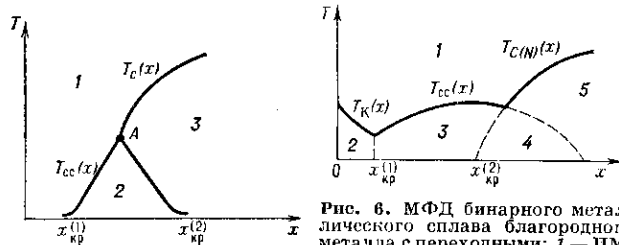


Рис. 5. МФД для диэлектрического сплава на примере Eu<sub>x</sub>Sr<sub>1-x</sub>S: 1 — ПМ-фаза; 2 — СС-фаза; 3 — ФМ-фаза; A — тройная точка;  $x_{kp}^{(1,2)}$  — критические концентрации [11].

атомной структуры (аморфных магнитных диэлектриков и магнитных полупроводников, металлических стёкол и т. п.). При изменении концентрации  $x$  примесных магн. ионов изменяется характер эффективного прямого или косвенного (в т. ч. РКИ-) взаимодействия,

что обычно приводит при  $T=0$  к двум М. ф. п. при достижении критич. значений  $x_{kp}^{1,2}$ . В обоих случаях при  $x < x_{kp}^{(1)}$  магн. ионы являются почти изолированными («режим одиночной примеси»), и в магнетике реализуется слабомагн. ПМ-фаза (рис. 5) или кондо-фаза (рис. 6, см. также Кондо-эффект). При достижении т. н. предела разбавления  $x_{kp}^{(1)}$  между примесными моментами возникают конкурирующие обменные взаимодействия и магнетик переходит в СС-фазу. С дальнейшим увеличением  $x$  возрастает роль прямого обмена и тенденция к образованию магн. кластеров; наконец, при достижении  $x_{kp}^{(2)}$ , т. н. предела переколяции (протекания), устанавливается дальний магн. порядок: сначала смешанная асперомагн. фаза (см. Сперомагнетизм), а затем чистая АФМ- или ФМ-фаза.

При  $T \neq 0$  фазовые границы определяются температурными зависимостями  $x_{kp}^{(1,2)}(T)$  или, что то же, концентрац. зависимостями темп-р замерзания спинового стекла  $T_{cc}^{1,2}(x)$  и точек Кюри (Нееля)  $T_C(N,x)$ , пересекающимися в тройной точке A, выше к-рой СС-фаза вообще не возникает. В случае МФД на рис. 6 имеется, кроме того, фазовая граница  $T_K(x)$ , соответствующая переходу из кондо-фазы в ПМ-фазу; эта МФД характерна, напр., для разбавленных твёрдых растворов типа AB<sub>x</sub> с РКИ-взаимодействием, где A — благородный металл (Au, Ag, Pt), образующий диамагн. матрицу, B — переходный 3d-металл (Fe, Ni, Co). Кондо-фаза возникает в примесных металлич. магнетиках благодаря эффекту Кондо, состоящему в полной экранировке (компенсации) магн. момента примесных d-ионов за счёт их антиферромагнитного s—d-обменного взаимодействия со спинами s-электронов проводимости. Кондо-фаза переходит в СС-фазу при  $x_{kp}^{(1)} \approx 10^{-4}$ , тогда как для ФМ-фазы в AuFe  $x_{kp}^{(2)} \approx 0,17$ , для АФМ-фазы в CuMn  $x_{kp}^{(3)} \approx 0,45$ .

Концентрац. метамагнитные (см. Метамагнетик) М. ф. п. 1-го рода ФМ—АФМ осуществляются в (квази) бинарных концентрир. сплавах ФМ- и АФМ- 3d-металлов, напр. в Fe<sub>x</sub>Cr<sub>1-x</sub> (или Ni<sub>1-x</sub>) (рис. 7), нек-рых стальях Fe<sub>a</sub>Ni<sub>1-a-x</sub>M<sub>x</sub> (M=Mn, Cr, V; a=const), а также в Mn<sub>1-x</sub>Cr<sub>x</sub>Sb и Fe(Pd<sub>x</sub>Pt<sub>1-x</sub>)<sub>3</sub> при значении  $x_{kp} \approx 0,5$ . Конкуренция прямых ФМ- и АФМ-взаимодействий (соответственно,  $J_1 > 0$  в первой и  $J_2 < 0$  во второй координат. сферах,  $J_1 = 2 | J_2 |$ ) и вызванная ею фрустрация приводят к концентрац. М. ф. п. в диэлектрич. сплаве Eu<sub>x</sub>Sr<sub>1-x</sub>S, причём  $x_{kp}^{(1)} \approx 0,1$ ,  $x_{kp}^{(2)} \approx 0,5$  (при  $x=0$  образец — идеальный

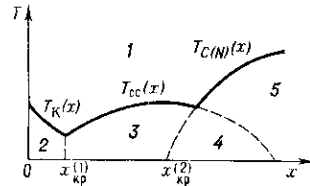


Рис. 6. МФД бинарного металлического сплава благородного металла с переходными: 1 — ПМ-фаза; 2 — кондо-фаза; 3 — СС-фаза; 4 — асперомагнитная фаза; 5 — ФМ- или АФМ-фаза;  $T_K$  — температура Кондо;  $T_{cc}$  — температура замерзания;  $T_C(N)$  — точка Кюри (Нееля);  $x_{kp}^{(1)}$  — предел разбавления;  $x_{kp}^{(2)}$  — предел переколяции [11].

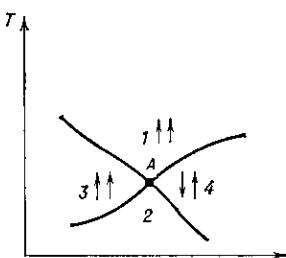


Рис. 7. МФД для интерметаллического сплава 3d-переходных ферро- и антиферромагнитиков: 1 — ПМ-фаза; 2 — СС-фаза; 3 — ФМ-фаза; 4 — АФМ-фаза; A — тетракритическая точка;  $T_{cc}$  — температура замерзания;  $T_C(N)$  — точка Кюри (Нееля) [11].

диамагнетик, при  $x=1$  — ферромагнетик); то же верно для ряда легиров. магнетиков со структурой граната.

Концентрац. М. ф. п. типа ПМ—СС происходят также в сложных полупроводниках, напр. во «фрустрированных» тройных халькогенидных сплавах с широкой (Cd<sub>1-x</sub>Mn<sub>x</sub>Te) и узкой (Hg<sub>1-x</sub>Mn<sub>x</sub>Te или Se) запрещёнными зонами, где преобладающим при  $x \geq x_{kp} \approx 0,16$  является прямое антиферромагн. взаимодействие ионов Mn<sup>2+</sup> (рис. 8). В сплавах первого типа в пределе больших концентраций ( $x \geq 0,7$ ) реализуется АФМ-фаза, к-рая не обнаруживается в спла-